

التنمية وأسعار صرف الدينار الكويتي مقابل

* العملات العالمية الرئيسية *

محمد محمد العادى المحيميد ..

مختصر : تهدف هذه الدراسة إلى بناء نماذج لأسعار صرف الدينار الكويتي مقابل العملات الرئيسية العالمية الأكثر تأثيراً في الاقتصاد الكويتي : الدولار الأمريكي والجنيه الإسترليني والمارك الألماني. حيث تغوص الدراسة على بناء نماذج لحدار ناقص ومتسطلة متعركة متعددة، وذلك وفق لسلبيات نوكس وجلكنر. هذه النماذج يمكن استخدامها أساساً لأغراض التنبؤ بأسعار صرف العملات الرئيسية الثلاث. وتشير النتائج النهائية للدراسة إلى احتمالية استخدام النماذج المتعددة على النماذج المنفردة في التنبؤ بأسعار الصرف.

١ . مقدمة :

في الأول من يبريل عام 1961 تم تداول الدينار الكويتي (KD) بعد إقراره من قبل مجلس النقد كعملة وطنية لدولة الكويت ليستبدل الإصدار الخاص من الروبية الهندية والتي كانت متداولة في بعض دول منطقة الخليج ومن بينها دولة الكويت. وقد ربطت قيمة الدينار أن ذلك بالجنيه الإسترليني حيث كانت الكويت عضواً في منطقة نفوذ لو تداول الجنيه الإسترليني. وبذلك تحدثت القيمة المعادلة للدينار الكويتي بـ 2.48828 جرام من الذهب الخام، مساوية لقيمة الجنيه الإسترليني (BP) ومعدلة لـ 2.8 من الدولار الأمريكي (DOL) [قرير الشركة الكويتية العالمية للاستثمار Kuwait International Investment Company, n.d]. ونتيجة للتطور الكبير وزيادة درجة التخصص في الصناعة المصرفية فقد تم استبدال مؤسسة النقد ببنك الكويت المركزي في أواخر المستينيات، وذلك للتقليل والرقابة على الجهاز المالي من ناحية، ومن الناحية الأخرى لأخذ دور أكثر فعالية في رسم وتوجيه السياسة النقدية للبلاد.

وفي 17 نوفمبر عام 1970 قام البنك المركزي بإصدار جديد للدينار الكويتي وذلك لاستبدال الإصدار السابق والذي تم من قبل مؤسسة النقد. اتسمت الفترة ابتداء من إصدار الدينار الكويتي وحتى منتصف السبعينيات بارتفاع الضغوطات في الأسواق المالية والنقية العالمية، مما أدى إلى انهيار اتفاقية "بريتون وود" Bretton Woods System [وتخلّي الدول عن سياسة أسعار الصرف الثابتة المحددة لها. كما ان هوية منطقة نفوذ الإسترليني أصبحت عديمة الجدوى بعدما قامت المملكة المتحدة بتعويم الجنيه الإسترليني وفرض قيود على التحويلات الخارجية للعملات شملت حتى دول منطقة النفوذ الإسترليني.

في 18 من شهر ديسمبر عام 1971 تم تخفيض قيمة الدولار الأمريكي بـ 7.89٪ من قيمته الاسمية المقومة بالذهب في حين لرتفعت غالبية العملات الرئيسية الأخرى. وفي فبراير عام 1973 تم تخفيض قيمة الدولار الأمريكي مرة أخرى وبمقدار 10٪. وقد قرر بنك الكويت المركزي الإبقاء على القيمة الاسمية للدينار الكويتي وخطأها من الذهب، لذا فقد لرتفع سعر صرف الدينار الكويتي مقابل الدولار الأمريكي من 2.8 إلى 3.04 في المرة الأولى ومن 3.04 إلى 3.3778 دولار أمريكي في المرة الثانية.

في شهر مارس من عام 1975 قرر البنك المركزي إنهاء ربط الدينار الكويتي بالدولار الأمريكي. وبدلاً من ذلك فقد اعتمد طريقة جديدة تعتمد على ربط الدينار الكويتي بسلة من العملات تعتمد في تركيبها على التجارة الخارجية للبلاد في تحديد سعر الصرف على أساس يومي. حيث يحدد سعر صرف الدينار الكويتي مقابل الدولار الأمريكي يومياً، في حين يحدد سعر صرف الدينار مقابل العملات الرئيسية الأخرى على أساس لسعر صرفها مقابل الدولار الأمريكي.

تمنع سعر صرف الدينار الكويتي مقابل الدولار الأمريكي بالشكل النسبي منذ البداية وحتى الوقت الراهن، حيث تنهي سعر الصرف بصورة كل من تنهي سعر صرف الدولار الأمريكي مقابل العملات الرئيسية العالمية الأخرى. هذه الخاصية من الاستقرار النسبي هي من الأمور المرغوبة، حيث تساهم في تقليل لثر عدم

استقرار الأسعار المحلية نتيجة لتذبذب أسعار صرف العملات الوطنية مقابل العملات الأخرى، وذلك من الأمور الهامة خاصة لما يتسم به الاقتصاد الكويتي من درجة عالية من الانفتاح.

لذا فإن أهمية هذه الدراسة تتبع من فهم العلاقة المحددة لأسعار صرف الدينار الكويتي مقابل العملات العالمية الرئيسية : الدولار الأمريكي و الجنيه الإسترليني و المارك الألماني. وبناء نماذج إحصائية تمكننا من التنبؤ بأسعار صرف الدينار الكويتي مقابل هذه العملات.

2 . نماذج و نظريات تحديد أسعار الصرف :

هناك العديد من الطرق والوسائل لبناء نماذج للتنبؤ، ولكن يمكن لجملتها في مجموعتين اساسيتين :
النماذج السببية (causal models) والنماذج الأحادية (univariate models).

إن استخدام النماذج السببية يتطلب منا التعرف على المتغيرات الأخرى ذات العلاقة بالمتغير أو المتغيرات محل الدراسة والمطلوب التنبؤ بقيمتها، ومتى تم تحديد هذه المتغيرات فإننا نستطيع تطوير نماذج سببية تصف العلاقة بين هذه المتغيرات و المتغير محل الدراسة، ومن ثم نستخدم الوسائل الإحصائية في تدبر هذه النماذج واختبارها واختيار المناسب منها في تمثيل العلاقة السببية بين المتغير المستقل و المتغيرات الشارحة له.

في عالم الأعمال توجد الكثير من أمثل النماذج السببية، غير أنه يشوبها العديد من المنقصات، فأولاً هذه النماذج ليس من السهل بناؤها ولا حصر جميع المتغيرات الشارحة للمتغير التابع فيها. كذلك فإن بناؤها يتطلب حصرًا لجميع البيانات الخاصة بقيم المتغيرات الشارحة و المستقلة فيها. إضافة لذلك، فإن قدرة هذه النماذج على التنبؤ بقيم المتغير التابع تعتمد في الأساس على القدرة على التنبؤ بقيم المتغيرات الشارحة نفسها أولاً.

النماذج الأحادية هي الأخرى كثيرة الانتشار، حيث تعتمد هذه النماذج في تنبئها عن القيمة، او القيمة المستقبلية المتوقعة لأحد المتغيرات على المعلومات المتوفرة من القيم السابقة للفس المتغير. عدم استخدام هذه النماذج، يتطلب الأمر تحليل القيم السابق (التاريخية) للفس المتغير و ذلك لاستكشاف مدى وجود آية علاقة نمطية (pattern) في البيانات، ومن ثم استخدام هذه النمطية - إن وجدت - في التنبؤ بالقيم المستقبلية للمتغير.

النماذج الموسمية للانحدار الذاتي والمتسطمات المتحركة (Seasonal Autoregressive Moving Average) والمعروفة من قبل "بوكس وجنكز" (Box and Jenkins 1976) هي مثال على النماذج الأحادية او نماذج السلسل الرزمية. ومع أن نماذج السلسل الرزمية كانت معروفة منذ القدم، إلا أن الباحثين "بوكس" و "جنكز" قد جعلاها من النماذج المشهور في الاستخدامات العامة.

طريقة "بوكس وجنكز" في التعرف على، وبناء نماذج للسلسل الرزمية تتمتع بالعديد من المميزات المرغوب. فهي تمكن الباحثين الذين لا يملكون سوى القيم السابقة من متغير واحد من التنبؤ بالقيم المستقبلية له دون الحاجة إلى اللجوء للبحث عن متغيرات شارحة له. كما أن الأدبيات البحثية تثبت أن هذا الأسلوب له قوة وإعتمادية كبيرة في التنبؤ، خاصة لفترات قصيرة الأجل.

استخدم أسلوب "بوكس وجنكز" في العديد من الدراسات. فيما يلي بعض الأمثلة منها. استخدم "تومبسون وتشاو" [Thompson and Tio (1971)] هذا الأسلوب في دراستهم التحليلية لبيانات الاتصالات الهاتفية. "شاتفيلد و بروثيرو" [Chatfield and prothero (1973)] استخدموه هذا الأسلوب في دراستهم لمستوى المبيعات الشهرية لمنتج هندسي. "غرتس و إبراهيم" [Geurts and Ibrahim (1975)] استخدموه هذا الأسلوب في دراسة أعداد السائحين الذين يزورون جزيرة هواني. "لسكيين و تيراسفيروتا" [Leskinen and Terasvirta (1976)] استخدم طريقة بوكس وجنكز في دراسة الاستهلاك للمشروبات الكحولية في فنلندا. "دستان" [Dunstan (1982)] [Harvey and Todd (1983)] طبق هذا الأسلوب في دراسته عن اكتشاف سرطانات الثدي. "هارفي و تود" [Almahmeed (1990)] استخدمي هذا الأسلوب في دراسة حالات عملية للتنبؤ بسلسل زمنية اقتصادية. "المحمد" [Almahmeed (1990)] [Almahmeed and Kadhim (1991)] استخدم هذه النماذج في دراسة الأرقام القياسية لأسعار المستهلك في دولة الكويت. "المحمد و كاظم" طبقاً هذا الأسلوب على بيانات شهرية في دراستهم لأسعار صرف الدينار الكويتي مقابل الدولار الأمريكي.

لم تدرس لسعر صرف الدينار الكويتي من قبل - حسب معرفتنا - وذلك مقابل العملات العلمية الرئيسية، خلصة باستخدام نماذج العامل الزمنية الأحادية لو المتعددة منها وذلك لأغراض استخدامها في التنبؤ. هذه الدراسة هي محلولة في هذا الاتجاه، حيث نستخدم نماذج "بوكمن و جنكتز" الأحادية ونماذج الانحدار الذاتي المتعددة لبناء نماذج سلسل زمانية لأسعار صرف كل من الدولار الأمريكي مقابل الدينار الكويتي و الجنيه الإسترليني والمارك الألماني مقابل الدينار الكويتي كل على حدا، ومن ثم إعادة بناء النماذج الثلاثة باستخدام لثر كل من هذه الأسعار على سعر صرف الأخرى.

لذلك فإن هياكلية الدراسة الحالية مبنية على الآتي :

في الجزء الثالث : نقوم ببناء نماذج لسعر صرف الدينار الكويتي مقابل العملات الرئيسية للثلاث. حيث منقوم ببناء نماذج أحادية (لكل عملة رئيسية مقابل الدينار الكويتي) مستخدمين نماذج "بوكمن و جنكتز".

في الجزء الرابع : نستخدم نماذج الانحدار الذاتي المتعددة في تقدير نموذج انحدار سعر صرف كل من الدولار الأمريكي مقابل الدينار الكويتي و الجنيه الإسترليني والمارك الألماني مقابل الدينار الكويتي، بدلالة أسعار الصرف العابقة لنفس العملة وأسعار الصرف العابقة للعملات الرئيسية الأخرى.

في الجزء الخامس : نستخدم للنماذج المقدرة في التنبؤ ولغيرها في الجزء السادس ينتمي هذه الدراسة مع ذكر النتائج والتوصيات.

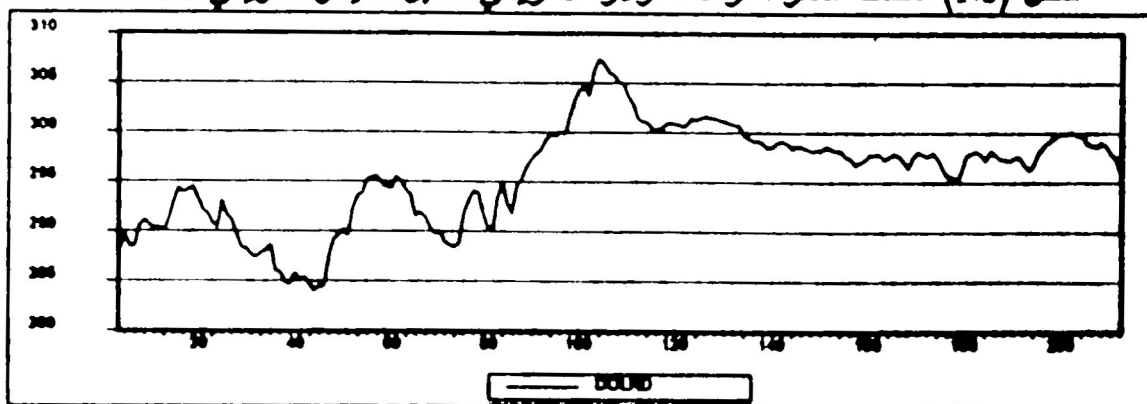
3 . النماذج المنفردة لأسعار صرف الدينار الكويتي مقابل العملات الرئيسية :

نبدأ لولا بتقدير النماذج الأحادية لسعر صرف الدينار الكويتي مقابل كل من الدولار الأمريكي والجنيه الإسترليني والمارك الألماني مستخدمين نماذج "بوكمن و جنكتز". ولهذا الغرض فقد تم جمع البيانات اليومية لأسعار الصرف بدءاً من 26 مارس 1991 (الأسبوع الثالث عشر من سنة 1991) وحتى 10 مارس 1995 (الأسبوع العاشر من سنة 1995)، وذلك من واقع البيانات اليومية المنصورة من قبل بنك الكويت المركزي. تم حساب متوسط سعر الصرف الأسبوعي لكل من العملات مقابل الدينار الكويتي، والذي يتمتع باستقرار اكثر من الأسعار اليومية، ويتمتع كذلك بأهمية اكبر من وجهاً نظر للمهتمين بدراسة أسعار صرف العملات والتنبؤ بها. لذا فإن سلسلة البيانات المستخدمة في الدراسة هي سلسلة زمنية طول كل منها 208 مشاهدة (عدد الأسابيع المشمولة في الدراسة). والأجزاء التالية تعرض نتائج تقديرات النماذج لكل عملة رئيسية على حدا.

3-1 . الدولار الأمريكي مقابل الدينار :

الشكل التالي يمثل الرسم البياني لشكل سلسلة سعر صرف الدولار الأمريكي مقابل الدينار الكويتي (DOLKD) خلال 208 أسابيع بدءاً من الأسبوع الثالث عشر من عام 1991.

شكل (1.3) سلسلة سعر صرف الدولار الأمريكي مقابل الدينار الكويتي DOLKD



من الشكل البياني للسلسلة يتضح أنها غير سلكية (non-stationary)، وهذا ما يؤديه تصوير الارتباط (correlogram) [لنظر شكل (2.3)] الذي يمكن شكل دالة الارتباط الذاتي (AC) (Autocorrelation) و دالة الارتباط الذاتي الجزئي (PAC) (Partial Autocorrelation) للفترات من 1 إلى 26 لسلسلة DOLKD.

شكل (2.3) تصوير الارتباط (Correlogram) لـ DOLKD

Autocorrelation	Partial Correlation		AC	PAC	Q-Stat	Prob
*****	*****	1	0.978	0.978	201.95	0.000
*****	*.	2	0.951	-0.145	393.64	0.000
*****	.	3	0.922	-0.024	574.86	0.000
*****	.	4	0.894	0.002	746.02	0.000
*****	.	5	0.870	0.073	908.83	0.000
*****	*	6	0.841	-0.158	1061.6	0.000
*****	*	7	0.808	-0.059	1203.5	0.000
*****	*	8	0.772	-0.075	1333.8	0.000
*****	*	9	0.736	-0.014	1452.7	0.000
*****	.	10	0.700	-0.036	1560.6	0.000
*****	.	11	0.664	0.008	1658.5	0.000
*****	.	12	0.633	0.076	1748.0	0.000
*****	.	13	0.609	0.127	1830.9	0.000
****	.	14	0.586	0.019	1908.4	0.000
****	.	15	0.566	0.016	1980.8	0.000
****	.	16	0.544	-0.027	2048.1	0.000
****	.	17	0.520	-0.060	2110.0	0.000
****	.	18	0.498	-0.025	2167.0	0.000
****	*	19	0.482	0.132	2220.8	0.000
****	.	20	0.471	0.004	2272.3	0.000
***	*	21	0.457	-0.107	2321.0	0.000
***	*	22	0.448	0.159	2368.2	0.000
***	*	23	0.436	-0.092	2413.1	0.000
***	*	24	0.425	0.055	2456.0	0.000
***	*	25	0.418	0.026	2497.7	0.000
***	*	26	0.409	-0.010	2537.8	0.000

و قبل إمكانية البدء في محاولة بناء نموذج للسلسلة يجب تحويلها إلى سلسلة ساكنة (stationary) وذلك بتكون سلسلة لفرق الأول DDOLKD، حيث :

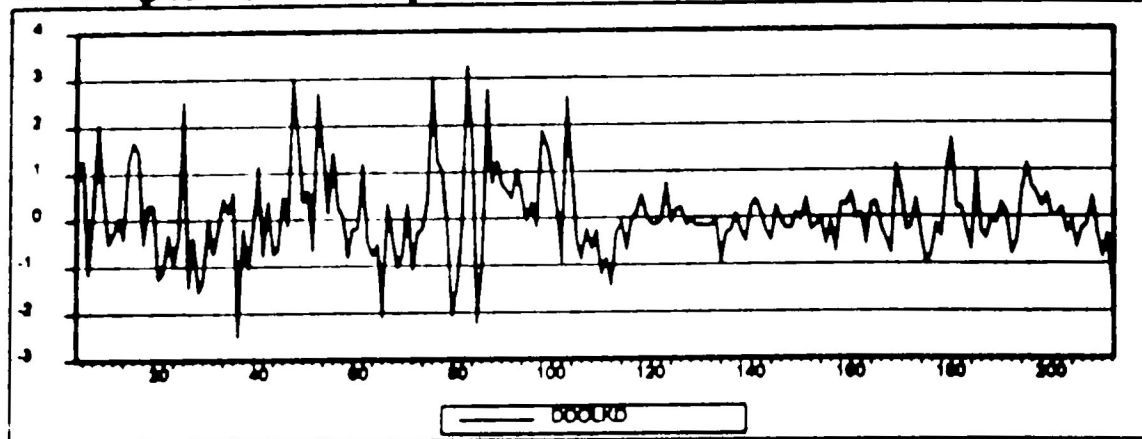
$$DDOLKD_t = DOLKD_t - DOLKD_{t-1} ; t = 2, \dots, 208$$

الشكل رقم (3.3) يوضح شكل الخط البياني لسلسلة الفرق الأول DDOLKD، حيث يظهر أن السلسلة لا تأخذ نمطاً تزايدياً أو تناقصياً، بل أنها تتذبذب حول الصفر وتأخذ شكلاً عشوائياً حول ذلك مما يعني أن سلسلة الفرق الأول هي سلسلة ساكنة. كما أن الشكل رقم (4.3) يظهر تصوير الارتباط لسلسلة الفرق الأول حيث يظهر أن كل من دالة الارتباط الذاتي و دالة الارتباط الذاتي الجزئي تؤكد أن سلسلة الفرق الأول هي سلسلة ساكنة، وتثبت القيمة الاحتمالية (Prob.) لاحصاء " جاركوي-سيزرا " (Jarque-Bera statistics) والمعروف بإحصاء " كيو " (Q-statistics) ذلك، وتشير إلى عدم معنوية هذا الإحصاء عند مستوى 5% لجميع الفقرات المختبرة (من 1 إلى 26) مما يؤكد عدم وجود ارتباطات ذاتية بين قيم سلسلة الفرق الأول لهذه الفقرات.

تصوير الارتباط لسلسلة الفرق الأول في الشكل (4.3) يوحى بان نموذج الانحدار المناسب قد يكون خليطاً من الانحدار الذاتي لمجموعة من القيم السابقة من سلسلة الفرق الأول والمتواترات المتحركة من قيم سابقة من سلسلة النبضات العشوائية (random shock). ويتبين كذلك أن هذه السلسلة قد تقسم إلى جزأين من حيث اختلاف التشتت، الجزء الأول من بداية السلسلة وحتى المشاهدة رقم 100، والأخر من 101 حتى نهاية السلسلة. سنقوم بتقدير نماذج للسلسلة مفترضين أن التشتت فيها متقارب ومن ثم تقوم بالاختبار ومعالجة ذلك. سوف نستخدم طريقة المربيعات الصغرى غير الخطية (non-linear least squares) فسيقدر النماذج، ومن ثم نعتمد في الحكم على أفضليّة النماذج المقدرة في تمثيل البيانات على كل من: الخط المعياري لنموذج الانحدار (S.E. of regression)، ومقياس " أكايكى " للمعلومات (Akaike information criterion)، وإحصاء " اف " (F-statistics) لاختبار مدى معنوية النموذج المقدر، وكذلك وسائل الاختبار الإحصائية الأخرى.

شكل وقيم دالة الارتباط الذاتي و دالة الارتباط الذاتي الجزئي في شكل (4.3) توحى بالاستخدام كل من الفقرات : الأولى والخامسة والثانية عشرة والثانية عشر والحادية والعشرون، والرابعة والعشرون في تدبر النموذج.

شكل (3.3) سلسلة الفرق الأول لسعر صرف الدولار الأمريكي مقابل الدينار الكويتي DDOLKD



للفصل للنماذج للمقدرة كالت :

نموذج الانحدار الذاتي :

$$DDOLKD_t = 0.224744 \cdot DDOLKD_{t-1} + 0.216501 \cdot DDOLKD_{t-5} - 0.210379 \cdot DDOLKD_{t-10} \quad \dots (1.3)$$

و النموذج المتوضّط للمنحرفة:

$$DDOLKD_t = 0.065796321 \cdot \epsilon_{t-1} + 0.90960291 \cdot \epsilon_{t-42} \quad \dots (2.3)$$

و النموذج الخليط بين الانحدار الذاتي والمتوضّط للمنحرفة:

$$DDOLKD_t = 0.272989 \cdot DDOLKD_{t-1} + 0.156354 \cdot DDOLKD_{t-5} + 0.910219 \cdot \epsilon_t \quad \dots (3.3)$$

حيث :

ϵ_t : هو خطأ التنبؤ (forecast error) للفترة t ، للنموذج المقدر للمتغير DDOLKD

شكل رقم (5.3) يعرض تقدّرات النماذج (1.3) و (2.3) و (3.3) وهو الفصل النماذج الثالث للسلسلة، حيث لن يتمكن من العثور على التباين (non-invertability) في النماذج (1.3) و (2.3) لأن قريبين جداً من عدم الانكماش (non-invertability) ولم يثبت تحت اختبارات تسلّي في التباين والتجزئة، لذا فيهما غير مستقرتين. النموذج المقدر في الشكل (5.3) على المطوبة، كما أن جميع معلمات النموذج مطوية عند مستوى 95%. الخطأ المعياري للنموذج المقدر كان 0.8464 و هو الأقل من بين النماذج الممكّلة. و مجموع مربعات الخطأ هو 133.255 . كما أن معامل التكاليف للنموذج كان الأقل من بين النماذج الممكّلة.

يرسم الشكل البياني لسلسلة الفرق الأول والسلسلة المقدرة لها باستخدام النموذج، وكذلك سلسلة البيولجي لتوضّح لها تأثيراً شوكلاً ضوئياً لهيئته نمطية، كما أن تصوير الارتباط للبيولي لنيل إلى عدم وجود لارتباط ذاتي بين البيولي، مما يعني مرة أخرى أن سلسلة البيولي هي سلسلة لا تحتوي على نمطية، أو أنها سلسلة من الموجات الصوتانية (random wave). لذا لا توجد لها علصّر مطوية شارحة، يمكن إضافة التباين إلى النموذج المقدر لتحسين لو زراعة قدراته التنبؤية.

غير أن النموذج لم يثبت باستخدام اختبار戈特菲尔德-夸恩(Gottfield-Quandt) لتصوّي التباين في جزءي السلسلة المستخدمة، مما يعني أن سلسلة الفرق الأول كانت مختلفة لو متعددة التباين Heteroscedasticity . فقد كانت معلمات النموذج مطوية في الجزء الأول من السلسلة (من المصادقة الأولى وحتى المصادقة 100)، إلا أنها لم

تكن كذلك في الجزء الثاني من السلسلة، مما يعني أن السلسلة بدأت بأخذ نمط مستقر و مختلف عن الفترة الأولى. يمكن معالجة ذلك باستخدام بعض التحويلات (transformation) المثبتة للتشتت، إلا أننا سوف نستخدم بيانات الجزء الثاني من السلسلة لبناء نموذج يعتمد عليه في التنبؤ لفترات المستقبلية، خاصة وأن التغير في التشتت في جزأى السلسلة لا يأخذ النمط التزايدى أو التناقصى مع تزايد مستوى السلسلة، وهو في العادة النمط القابل للعلاج من خلال استخدام دوال محولة تثبت التشتت في السلسلة.

شكل (4.3) تصوير الارتباط DDOLKD (Correlogram)

Autocorrelation	Partial Correlation	AC	PAC	Q-Stat	Prob
. **	. **	1	0.229	0.229	10.998 0.001
. .	* .	2	-0.016	-0.073	11.054 0.004
. .	. .	3	-0.014	0.007	11.096 0.011
. .	. .	4	-0.031	-0.033	11.305 0.023
. *	. **	5	0.178	0.204	18.058 0.003
. *	. .	6	0.070	-0.028	19.113 0.004
. *	. *	7	0.084	0.100	20.641 0.004
. .	. .	8	0.026	-0.021	20.793 0.008
. .	. .	9	-0.030	-0.003	20.992 0.013
. .	. .	10	0.020	-0.006	21.083 0.021
. .	* .	11	-0.057	-0.067	21.793 0.026
* .	* .	12	-0.127	-0.140	25.372 0.013
* .	* .	13	-0.104	-0.064	27.803 0.010
. .	. .	14	-0.030	-0.002	28.009 0.014
. .	. .	15	0.036	0.026	28.300 0.020
. .	. .	16	0.007	0.005	28.313 0.029
* .	. .	17	-0.077	-0.042	29.671 0.029
** .	** .	18	-0.240	-0.192	42.837 0.001
* .	. .	19	-0.154	-0.033	48.316 0.000
. .	. *	20	0.055	0.091	49.005 0.000
. .	* .	21	-0.057	-0.124	49.757 0.000
. .	. *	22	0.055	0.112	50.459 0.001
* .	* .	23	-0.078	-0.090	51.888 0.001
* .	* .	24	-0.148	-0.074	57.033 0.000
. .	. .	25	-0.027	-0.008	57.205 0.000
. .	. .	26	-0.045	0.005	57.698 0.000

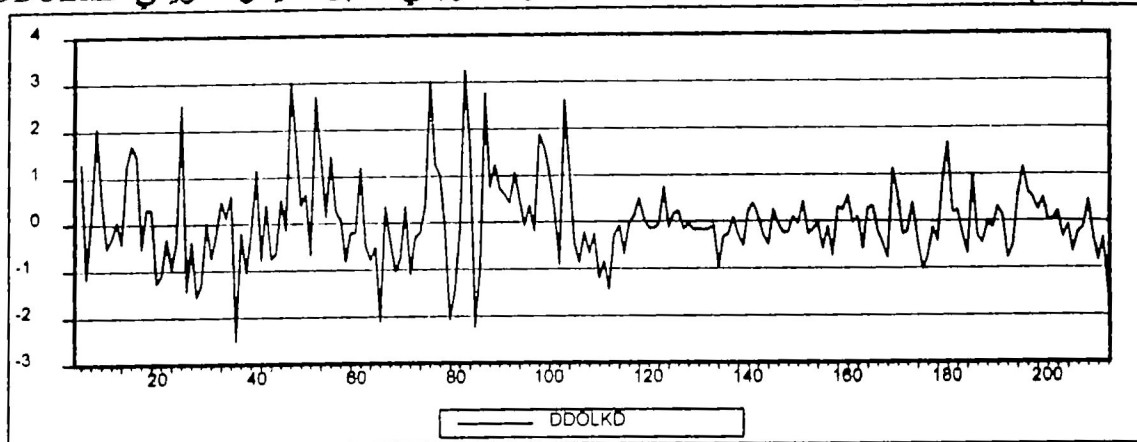
شكل (5.3) النموذج المقترن من سلسلة الفرق الأولى DDOLKD

Variable	Coefficient	Std. Error	T-Statistic	Prob.
DDOLKD _{t-1}	0.224744	0.068014	3.304386	0.0011
DDOLKD _{t-5}	0.216501	0.067815	3.192535	0.0017
DDOLKD _{t-18}	-0.210379	0.065502	-3.211820	0.0016
R-squared	0.157495	Mean dependent var	0.021831	
Adjusted R-squared	0.148436	S.D. dependent var	0.917226	
S.E. of regression	0.846418	Akaike info criterion	-0.317737	
Sum squared resid	133.2549	Schwarz criterion	-0.266281	
Log likelihood	-235.1532	F-statistic	17.38514	
Durbin-Watson stat	1.969436	Prob(F-statistic)	0.000000	
<hr/>				
النموذج المقترن :				
<hr/>				
$\text{DDOLKD}_t = 0.224744 * \text{DDOLKD}_{t-1} + 0.216501 * \text{DDOLKD}_{t-5}$				
$- 0.210379 * \text{DDOLKD}_{t-18}$				

باستخدام بيانات الجزء الثاني من السلسلة أمكن تقدير أفضل نموذج يمثل السلسلة فكان :

$$\text{DDOLKD}_t = 0.319428 * \text{DDOLKD}_{t-1} \quad \dots (4.3)$$

شكل (3.3) سلسلة الفرق الأول لسعر صرف الدولار الأمريكي مقابل الدينار الكويتي $DDOLKD$



أفضل النماذج المقدرة كانت :

نموذج الانحدار الذاتي :

$$DDOLKD_t = 0.224744 * DDOLKD_{t-1} + 0.216501 * DDOLKD_{t-5} - 0.210379 * DDOLKD_{t-18} \dots (1.3)$$

والنموذج المتوسطات المتحركة:

$$DDOLKD_t = 0.065796321 * \varepsilon_{t-1} + 0.90960291 * \varepsilon_{t-42} \dots (2.3)$$

و النموذج الخليط بين الانحدار الذاتي والمتوسطات المتحركة:

$$DDOLKD_t = 0.272989 * DDOLKD_{t-1} + 0.156354 * DDOLKD_{t-5} + 0.910219 * \varepsilon_{t-42} \dots (3.3)$$

حيث :

ε_{t-i} : هو خطأ التنبؤ (forecast error) للفترة $i-t$ للنموذج المقدر للمتغير $DDOLKD$

شكل رقم (5.3) يعرض تقديرات النموذج (1.3) وهو أفضل النماذج الثلاثة السابق، حيث أن النماذجين (2.3) و (3.3) كان قريباً جداً من عدم الانعكاس (non-invertability) ولم يثبتنا تحت اختبارات "تساو" في التنبؤ والتجزئة، لذا فإنهم غير مستقررين. النموذج المقدر في الشكل (5.3) عالي المعنوية، كما أن جميع معاملات النموذج معنوية عند مستوى 5%. الخطأ المعياري للنموذج المقدر كان 0.8464 وهو الأقل من بين النماذج الممكنة. ومجموع مربعات الخطأ له هو 133.255 . كما أن معامل "اكايكى" للنموذج كان الأقل من بين النماذج الممكنة.

برسم الشكل البياني لسلسلة الفرق الأول والسلسلة المقدرة لها باستخدام النموذج، وكذلك سلسلة الباقي اتضح أنها تأخذ شكلاً عشوائياً ليس فيه أية نمطية، كما أن تصوير الارتباط للباقي أشار إلى عدم وجود ارتباط ذاتي بين الباقي، مما يعني مرة أخرى أن سلسلة الباقي هي سلسلة لا تحتوي على أية نمطية، أو أنها سلسلة من الموجات العشوائية (random wave). لذا لا توجد أية عناصر معنوية شارحة، يمكن إضافتها إلى النموذج المقدر لتحسين أو زيادة قدرته التنبئية.

غير أن النموذج لم يثبت باستخدام اختبار Golgfield-Quandt لتساوي التشتت في جزأى السلسلة المستخدمة، مما يعني أن سلسلة الفرق الأول كانت مختلفة أو متعددة التشتت Heteroscedasticity . فقد كانت معاملات النموذج معنوية في الجزء الأول من السلسلة (من المشاهدة الأولى وحتى المشاهدة 100)، إلا أنها لم

تكن كذلك في الجزء الثاني من السلسلة، مما يعني أن السلسلة بدأت باخذ نمط مستقر و مختلف عن الفترة الأولى. يمكن معالجة ذلك باستخدام بعض التحويلات (transformation) المبنية للتشتت، إلا أننا سوف نستخدم بيانات الجزء الثاني من السلسلة لبناء نموذج يعتمد عليه في التنبؤ لفترات المستقبلية، خاصة وأن التغير في التشتت في جزأى السلسلة لا يأخذ النمط التزايدى أو التناقصى مع تزايد مستوى السلسلة، وهو في العادة النمط القابل للعلاج من خلال استخدام دوال محولة تثبت التشتت في السلسلة.

شكل (4.3) تصوير الارتباط (Correlogram) لـ DDOLKD

Autocorrelation	Partial Correlation	AC	PAC	Q-Stat	Prob
. **	. **	1	0.229	0.229	10.998 0.001
. .	* .	2	-0.016	-0.073	11.054 0.004
. .	. .	3	-0.014	0.007	11.096 0.011
. .	. .	4	-0.031	-0.033	11.305 0.023
. *	. **	5	0.178	0.204	18.058 0.003
. *	. .	6	0.070	-0.028	19.113 0.004
. *	. *	7	0.084	0.100	20.641 0.004
. *	. .	8	0.026	-0.021	20.793 0.008
. .	. .	9	-0.030	-0.003	20.992 0.013
. .	. .	10	0.020	-0.006	21.083 0.021
. .	* .	11	-0.057	-0.067	21.793 0.026
* .	* .	12	-0.127	-0.140	25.372 0.013
* .	* .	13	-0.104	-0.064	27.803 0.010
. .	. .	14	-0.030	-0.002	28.009 0.014
. .	. .	15	0.036	0.026	28.300 0.020
. .	. .	16	0.007	0.005	28.313 0.029
* .	. .	17	-0.077	-0.042	29.671 0.029
** .	* .	18	-0.240	-0.192	42.837 0.001
* .	. .	19	-0.154	-0.033	48.316 0.000
. .	. *	20	0.055	0.091	49.005 0.000
. .	* .	21	-0.057	-0.124	49.757 0.000
. .	. *	22	0.055	0.112	50.459 0.001
* .	* .	23	-0.078	-0.090	51.888 0.001
* .	* .	24	-0.148	-0.074	57.033 0.000
. .	. .	25	-0.027	-0.008	57.205 0.000
. .	. .	26	-0.045	0.005	57.698 0.000

شكل (5.3) النموذج المقترن من سلسلة الفرق الأولى DDOLKD

Variable	Coefficient	Std. Error	T-Statistic	Prob.
DDOLKD _{t-1}	0.224744	0.068014	3.304386	0.0011
DDOLKD _{t-5}	0.216501	0.067815	3.192535	0.0017
DDOLKD _{t-10}	-0.210379	0.065502	-3.211820	0.0016
R-squared	0.157495	Mean dependent var	0.021831	
Adjusted R-squared	0.148436	S.D. dependent var	0.917226	
S.E. of regression	0.846418	Akaike info criterion	-0.317737	
Sum squared resid	133.2549	Schwartz criterion	-0.266281	
Log likelihood	-235.1532	F-statistic	17.38514	
Durbin-Watson stat	1.969436	Prob(F-statistic)	0.000000	
النموذج المقترن :				
$DDOLKD_t = 0.224744 * DDOLKD_{t-1} + 0.216501 * DDOLKD_{t-5}$				
$- 0.210379 * DDOLKD_{t-10}$				

باستخدام بيانات الجزء الثاني من السلسلة أمكن تقدير أفضل نموذج يمثل السلسلة فكان :

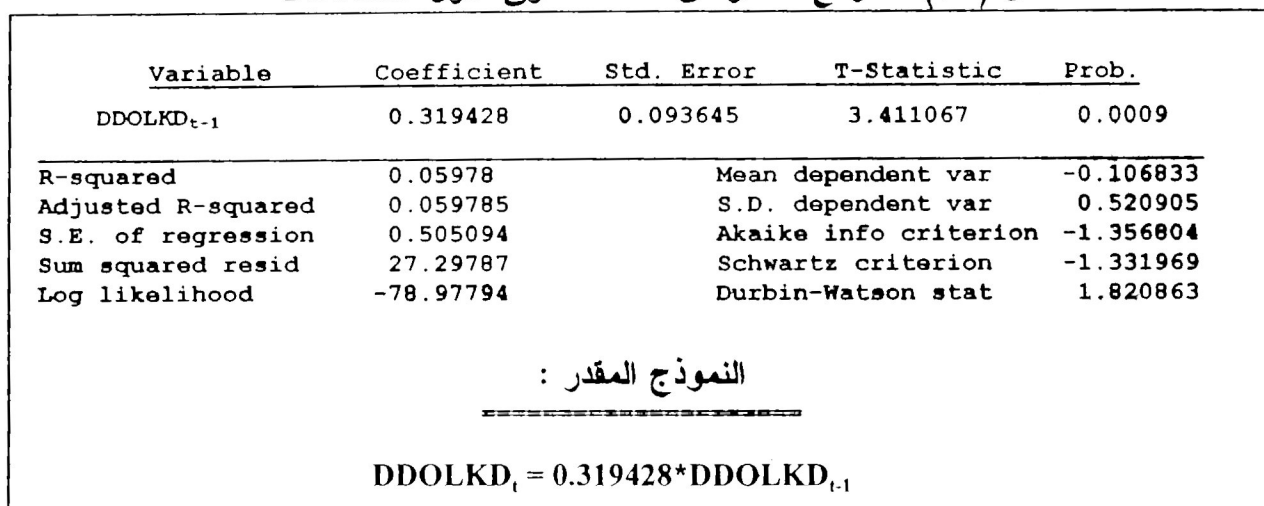
$$DDOLKD_t = 0.319428 * DDOLKD_{t-1} \quad \dots (4.3)$$

شكل رقم (6.3) يعرض تقدير النموذج (4.3). حيث يتضح أنه نموذج عالي المعنوية. ويتحقق هذا النموذج من حيث النوع والرتبة مع النموذج المقدر لسلسلة صرف الدولار الأمريكي مقابل الدينار الكويتي للفترة السابقة لعام 1990 (انظر "المحمد و كاظم" [Almahmeed and Kadhim (1991)]).

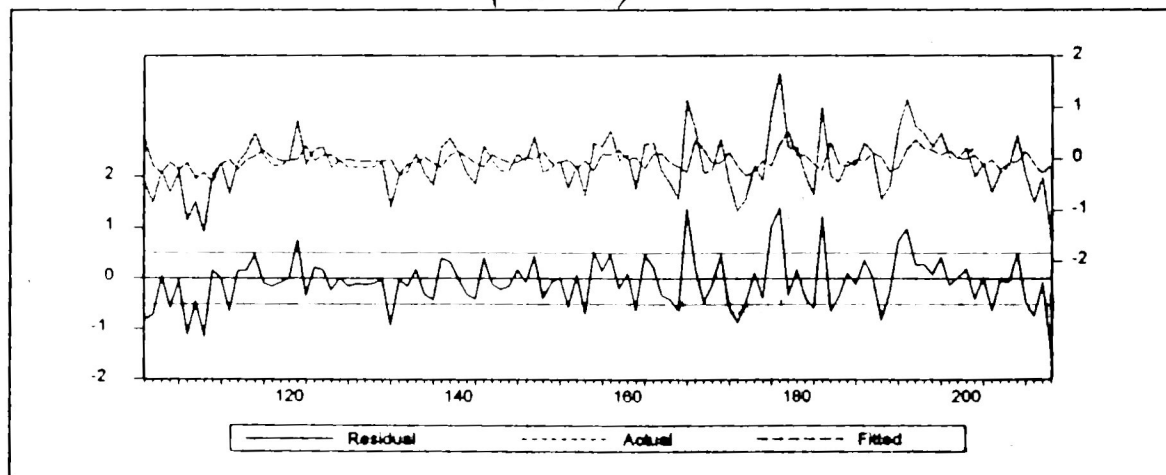
الشكل (7.3) يعرض الشكل البياني لسلسلة الفرق الأولى والسلسلة المقدرة لها باستخدام النموذج، وكذلك سلسلة البوافي التي تأخذ شكلاً عشوائياً ليس فيه أية نمطية، كما أن تصوير الارتباط للبوافي أشار إلى عدم وجود ارتباط ذاتي بين البوافي، مما يعني مرة أخرى أن سلسلة البوافي هي سلسلة لا تحتوي على أية نمطية، أو أنها سلسلة من الموجات العشوائية (random wave). لذا لا توجد أية عناصر معنوية شارحة، يمكن إضافتها إلى النموذج المقدر لتحسين أو زيادة قدرته التنبؤية.

لاختبار ثبات النموذج المقدر تم اختباره لصدمته (shock)، وذلك بتقسيم السلسلة الزمنية إلى جزأين، الجزء الأول من السلسلة يضم الـ 79 مشاهدة الأولى، أما الثاني فيضم الـ 29 مشاهدة الأخيرة بدأ من المشاهدة 180. ثم تم تطبيق اختبار التجزئة لـ "تشاو" (Chow breakpoint test) والذي يعيد تقدر النموذج باستخدام بيانات كل مجموعة على حدا، ثم يختبر فرض العدم بتساوي معاملات النموذجيين المقدرين. شكل (8.3) يعرض نتائج هذا الاختبار والتي تشير إلى عدم معنوية الفرق بين النموذجيين عند مستوى 5%، مما يعني ثبات النموذج المقدر من البيانات الكلية تحت هذا الاختبار.

شكل (6.3) النموذج المقدر من سلسلة الفرق الأولى DDOLKD



شكل (7.3) سلسلة الفرق الأولى (Actual) مع السلسلة المقدرة لها (Fitted) وسلسلة البوافي (residuals)



شكل (8.3) اختبار التجزئة لـ "تشاو" للسلسلة DDOLKD

Chow Breakpoint Test: 180

F-statistic	0.016910	Probability	0.896782
Log likelihood	0.017228	Probability	0.895573

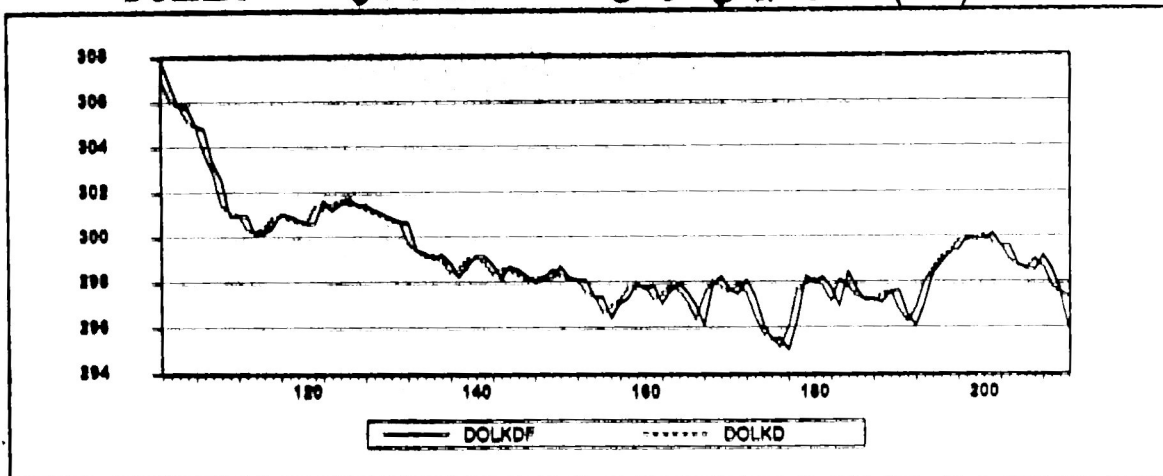
شكل (9.3) يعرض صورة أخرى من اختبارات ثبات النموذج المقدر، حيث تم استخدام اختبار التبؤ لـ "تشاو" (Chow Forecast Test) على مجموعة السلسلة، بحيث تم استخدام بيانات المجموعة الأولى في إعادة تقييم النموذج، ومن ثم استخدام النموذج المقدر هذا في التبؤ بقيم المجموعة الثانية، ومن الواضح تمنع النموذج المقدر بقدرة على التنبؤ بالقيم الفعلية للمجموعة الثانية، مما يدل على ثبات النموذج المقدر. شكل (9.3) يعرض كذلك نتائج إعادة تقييم النموذج باستخدام المجموعة الأولى من البيانات والتي تظهر القرب الشديد في قيم معاملات النموذج المقدر من هذه البيانات مع النموذج المقدر من البيانات الكلية.

أخيراً فإن الشكل البياني لسلسلة أسعار صرف الدولار الأمريكي مقابل الدينار الكويتي DOLKDF والسلسلة المقدرة DOLKD باستخدام البيانات الفعلية والنماذج المقدرة من بيانات السلسلة الكاملة. ويتبين من التقارب الكبير بين السلاسلتين مدى قدرة النموذج المقدر على التنبؤ.

شكل (9.3) اختبار التبؤ لـ "تشاو" لسلسلة DDOLKD

Chow Forecast Test: Forecast from 180 to 208				
F-statistic	1.310300	Probability	0.174014	
Log likelihood	42.86198	Probability	0.056883	
Variable	Coefficient	Std. Error	T-Statistic	Prob.
DDOLKD _{t-1}	0.312287	0.104139	2.998759	0.0036
R-squared	0.049214		Mean dependent var	-0.121494
Adjusted R-squared	0.049214		S.D. dependent var	0.497504
S.E. of regression	0.485107		Akaike info criterion	-1.434193
Sum squared resid	18.35567		Schwarz criterion	-1.404200
Log likelihood	-54.44552		Durbin-Watson stat	1.844113

شكل (10.3) للشكل البياني لكل من سلسلة DOLKD وسلسلة DOLKDF



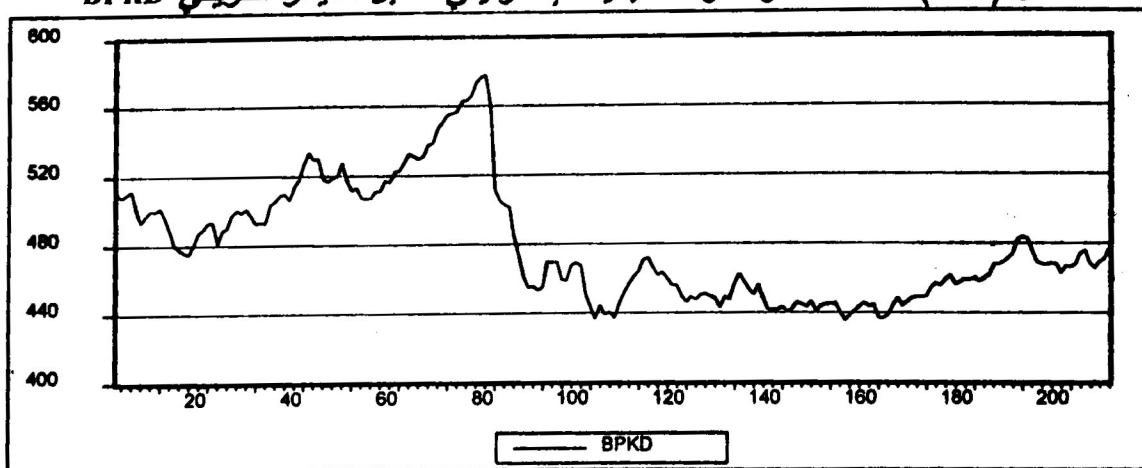
3- ب . الجنيه الاسترليني مقابل الدينار :

الشكل التالي يمثل الرسم البياني لشكل سلسلة سعر صرف الجنيه الاسترليني مقابل الدينار الكويتي BPKD خلال 208 أسابيع بدءاً من الأسبوع الثالث عشر من عام 1991.

يتضح من الشكل (11.3) ومن رسم تصوير الارتباط لسلسلة PBKD أن السلسلة غير ساكنة (non-stationary).

برسم شكل الخط البياني لسلسلة الفرق الأول DBPKD، ظهر أن السلسلة لا تأخذ نمطاً تزايدياً أو تناقصياً، بل أنها تتذبذب حول الصفر وتأخذ شكلاً عشوائياً حول ذلك مما يعني أن سلسلة الفرق الأول هي ساكنة. كما أظهر تصوير الارتباط لسلسلة الفرق الأول أن كل من دالة الارتباط الذاتي ودالة الارتباط الذاتي الجزئي تؤكد أن سلسلة الفرق الأول هي بالفعل سلسلة ساكنة.

شكل (11.3) سلسلة سعر صرف الجنية الإسترليني مقابل الدينار الكويتي DBPKD



شكل وقيم دالة الارتباط الذاتي ودالة الارتباط الذاتي الجزئي أشار باستخدام الفترات : الأولى والخامسة والحادية عشر والثانية عشر والعشرون والصادسة والعشرون في تقدير النموذج. أفضل النماذج المقترنة كانت :

نموذج الانحدار الذاتي :

$$DBPKD_t = 0.27982569 * DBPKD_{t-1} + 0.1901837 * DBPKD_{t-5} - 0.25292481 * DBPKD_{t-11} \\ - 0.13603855 * DBPKD_{t-22} \quad \dots (5.3)$$

والنموذج المتوسطات المتحركة:

$$DBPKD_t = 0.27709895 * \epsilon_{t-1} - 0.23407784 * \epsilon_{t-11} - 0.23078121 * \epsilon_{t-12} - 0.21986289 * \epsilon_{t-46} \quad \dots (6.3)$$

و النموذج الخليط بين الانحدار الذاتي والمتوسطات المتحركة:

$$DBPKD_t = 0.28334766 * DBPKD_{t-1} + 0.17667895 * DBPKD_{t-5} - 0.23833573 * DBPKD_{t-11} \\ - 0.13618068 * DBPKD_{t-22} - 0.17697308 * \epsilon_{t-46} \quad \dots (7.3)$$

حيث :

ϵ_t : هو خطأ التنبؤ (forecast error) لل فترة $t-i$ للنموذج المقدر للمتغير $DBPKD$

شكل رقم (12.3) يعرض تقديرات النموذج (5.3)، وهو أفضل النماذج الثلاثة السابقة، حيث أن النماذجين (6.3) و (7.3) كانوا قريبين جداً من عدم الانعكاس (non-invertability) ولم يثبتا تحت اختبارات "تشاو" في التنبؤ والتجزئة. لذا فإنهما نماذجين غير مستقررين. النموذج المقدر في الشكل (12.3) عالي المعنوية، كما أن جميع معاملات النموذج معنوية عند مستوى دلالة 5%. الخطأ المعياري للنموذج المقدر كان 5.584 وهو الأقل من بين جميع النماذج الممكنة. كما أن معامل "أكايكي" للنموذج كان الأقل من بين هذه النماذج.

رسم الشكل البياني سلسلة البوافي لاظهر أنها تأخذ شكلاً عشوائياً ليس فيه آية نمطية، كما أن تصوير الارتباط للبوافي أشار إلى عدم وجود ارتباط ذاتي بين البوافي، مما يعني مرة أخرى أن سلسلة البوافي هي سلسلة لا تحتوي على آية نمطية، أو أنها سلسلة من للموجات العشوائية. لذا لا يوجد آية عناصر معنوية شارحة، يمكن إضافتها إلى النموذج المقدر لتحسين أو زيادة قدرته التنبئية.

لاختبار ثبات النموذج المقدر تم إختباعه لصيمة، وذلك بتقسيم السلسلة الزمنية إلى جزأين، بلفس فكرة تقسيم سلسلة أسعار صرف الدينار مقابل الدولار الأمريكي السابقة. وأشار اختبار التجزئة لـ "تشاو" إلى ثبات النموذج المقدر من البيانات الكلية تحت هذا الاختبار.

شكل (12.3) النموذج المقترن من سلسلة الفرق الأولى DBPKD

Variable	Coefficient	Std. Error	T-Statistic	Prob
DBPKD _{t-1}	0.279826	0.067034	4.174381	0.0000
DBPKD _{t-5}	0.190184	0.066236	2.871285	0.0046
DBPKD _{t-11}	-0.252925	0.068251	-3.705784	0.0003
DBPKD _{t-22}	-0.136039	0.067006	-2.030234	0.0438
R-squared	0.197341		Mean dependent var	-0.062857
Adjusted R-squared	0.184037		S.D. dependent var	6.182239
S.E. of regression	5.584457		Akaike info criterion	3.461359
Sum squared resid	5644.695		Schwarz criterion	3.530988
Log likelihood	-578.6793		F-statistic	14.83349
Durbin-Watson stat	2.042539		Prob(F-statistic)	0.000000

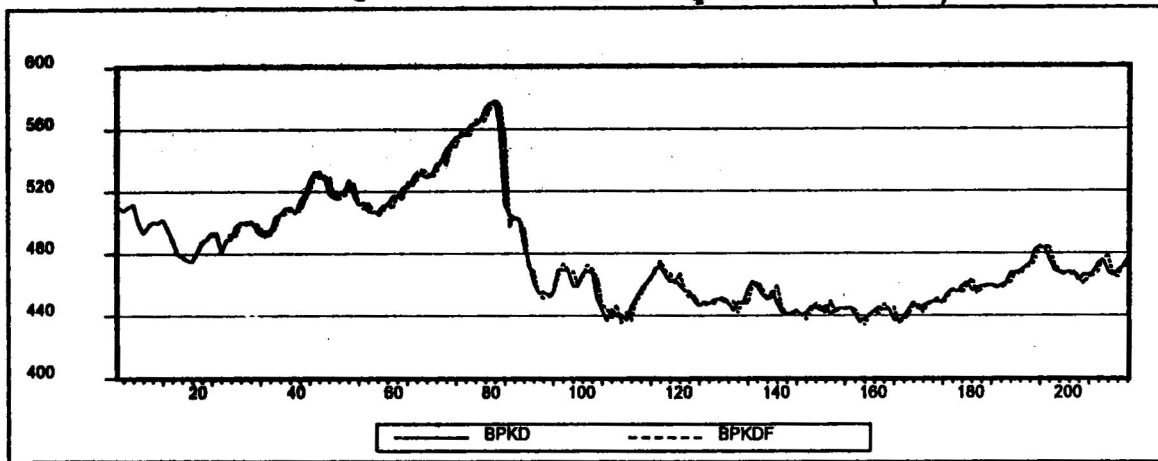
النموذج المقترن :

$$DBPKD_t = 0.27982569 * DBPKD_{t-1} + 0.1901837 * DBPKD_{t-5} - 0.25292481 * DBPKD_{t-11} \\ - 0.13603855 * DBPKD_{t-22}$$

كما أشارت نتائج اختبار التباين لـ "تشاو" إلى تتمتع النموذج المقترن بقدرة عالية على التباين بالقيم الفعلية للمجموعة الثانية، مما يدل على ثبات النموذج المقترن.

الشكل (13.3) يعرض الشكل البياني لسلسلة أسعار صرف الجنية الإسترليني مقابل الدينار الكويتي BPKDF والسلسلة المقترنة (BPKDF) باستخدام النموذج من بيانات السلسلة الكاملة. ويتبين من التقارب الكبير بين السلاسلتين قدرة النموذج المقترن.

شكل (13.3) الشكل البياني لكل من سلسلة BPKD وسلسلة BPKDF



3-ج . المارك الألماني مقابل الدينار :

يتضح من شكل الخط البياني لسلسلة سعر صرف المارك الألماني مقابل الدينار الكويتي في الشكل (14.3) ومن رسم تصوير الارتباط لسلسلة DMKD أن السلسلة لا تتمتع بالسكون (non-stationary).

رسم سلسلة الفرق الأولى أظهر أن السلسلة لا تأخذ نمطاً تزايدياً أو تناقصياً، بل أنها تتذبذب حول الصفر وتأخذ شكلًا عشوائياً حول ذلك مما يعني أن هذه السلسلة ساكنة. وأظهر تصوير الارتباط لهذه السلسلة أن كل من دالة الارتباط الذاتي ودالة الارتباط الذاتي الجزئي تؤكد أن سلسلة الفرق الأولى هي بالفعل سلسلة ساكنة، وتنقترح استخدام الفترات : الأولى والخامسة والحادية عشر والثانية عشر والثانية عشر والعشرون في تقدير النموذج.

أفضل النماذج المقترنة التي تتمتع باستقرار وثبات من خلال اختبارات "تشاو" في التباين والتجزئة كانت :

نموذج الانحدار الذاتي :

$$DDMKD_t = 0.24658851 * DDMKD_{t-1} + 0.14776466 * DDMKD_{t-20} \dots (8.3)$$

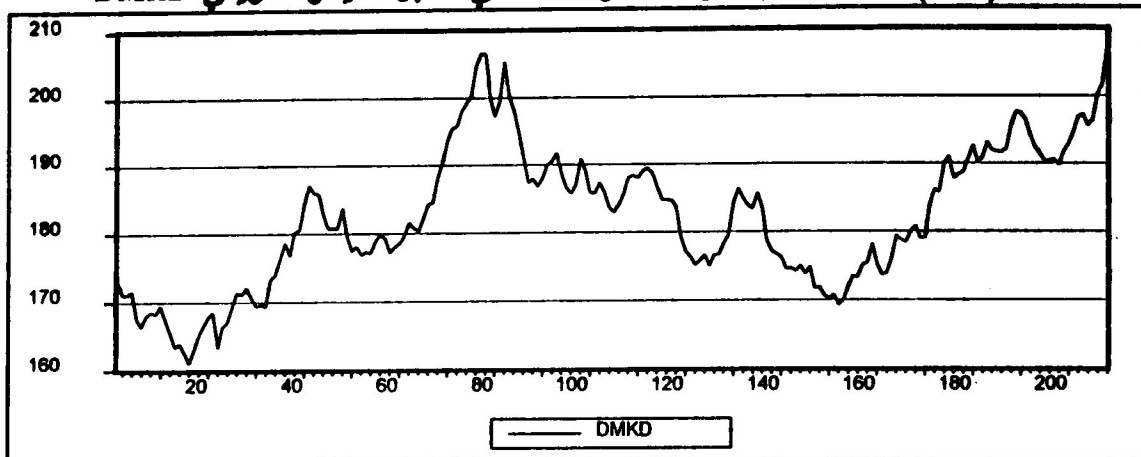
ونموذج المتسلسلات المتحركة:

$$DDMKD_t = 0.25659057 * \varepsilon_{t-1} + 0.17069478 \varepsilon_{t-20} \dots (9.3)$$

حيث :

ε_t : هو خطأ التنبؤ (forecast error) للفترة t للنموذج المقدر للمتغير $DDMKD$.

شكل (14.3) سلسلة سعر صرف المارك الألماني مقابل الدينار الكويتي $DMKD$



شكل رقم (15.3) يعرض تقيير النموذج (8.3)، وهو أفضل النماذج السابقين، حيث أن النماذجين (8.3) و (9.3) كانوا قريبيين جداً من حيث قيمة معامل "أكايكى" [1.43 للأول و 1.40 للثاني] غير أن النموذج (8.3) أفضل من النموذج (9.3) لأن مجموع مربعات الخطأ (S. S. RESID) فيه كان أقل من الثاني [774.9 للأول و 819.3 للثاني]. النموذج المقدر في الشكل (15.3) على المعنوية، كما أن جميع معاملات النموذج معنوية عند مستوى دلالة 5%. الخطأ المعياري للنموذج المقدر كان 2.047 وهو الأفضل من بين النماذج الممكنة.

شكل مسلسلة البوافي أظهر أنها تأخذ شكلاً عشوائياً ليس فيه أيّة نمطية، كما أن تصوير الارتباط للبوافي أشار إلى عدم وجود ارتباط ذاتي بين البوافي، أو أنها سلسلة من الموجات العشوائية. لذا لا يوجد أيّة عناصر معنوية شارحة، يمكن إضافتها إلى النموذج المقدر لتحسين أو زيادة قدرته التنبئية.

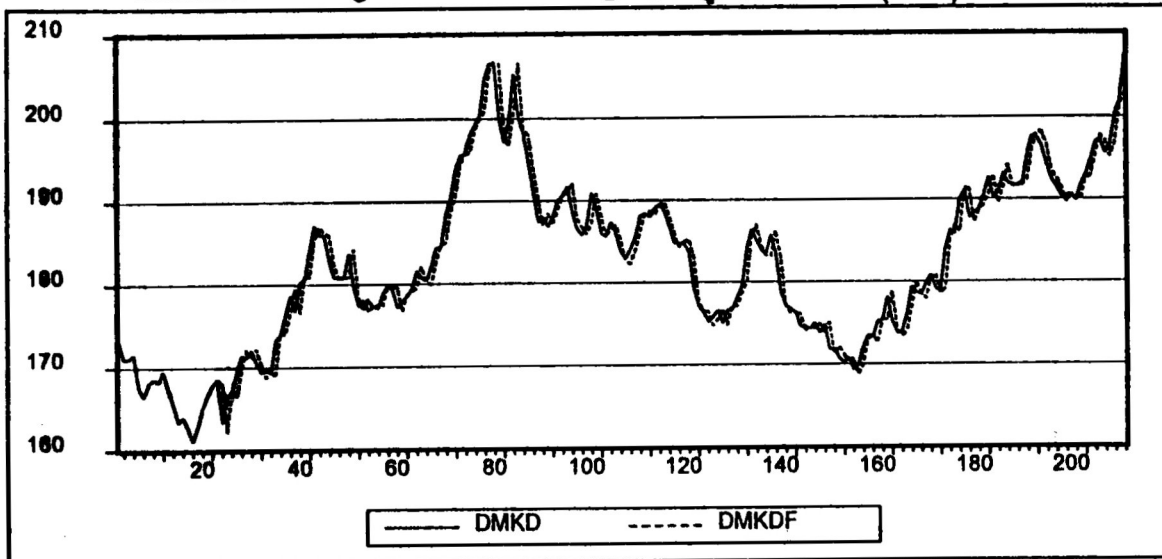
شكل (15.3) النموذج المقدر من سلسلة الفرق الأولى $DDMKD$

Variable	Coefficient	Std. Error	T-Statistic	Prob
DDMKD _{t-1}	0.246589	0.072538	3.399447	0.0008
DDMKD _{t-20}	0.147765	0.072311	2.043447	0.0424
R-squared	0.063316		Mean dependent var	0.207797
Adjusted R-squared	0.058253		S.D. dependent var	2.108970
S.E. of regression	2.046622		Akaike info criterion	1.443019
Sum squared resid	774.9024		Schwarz criterion	1.477576
Log likelihood	-398.2638		F-statistic	12.50523
Durbin-Watson stat	1.897996		Prob(F-statistic)	0.000513
النموذج المقدر :				
$DDMKD_t = 0.24658851 * DDMKD_{t-1} + 0.14776466 * DDMKD_{t-20}$				

نتائج اختبار التجزئة واختبار التباين - تساوي. أظهر ثبات واستقرار النموذج المقدر.

الشكل (16.3) يعرض الشكل البياني لسلسلة أسعار صرف المارك الألماني مقابل الدينار الكويتي وسلسلة المقدرة لها (DMKDF) باستخدام النموذج من البيانات الكاملة للسلسلة. ويتبين من التقارب الكبير بين السلاسلتين قدرة النموذج المقدر.

شكل (16.3) الشكل البياني لكل من سلسلة DMKD وسلسلة DMKDF



4. النماذج المتعددة لأسعار صرف الدينار الكويتي مقابل العملات الرئيسية :

سوف نستخدم في هذا الجزء نماذج السلاسل الزمنية المتعددة (multivariate time series models). ومن أهمها "نماذج الانحدار الذاتي والمتوسطات المتحركة المتعددة" (multivariate ARMA models). ويعرف النموذج المتعدد للانحدار الذاتي والمتوسطات المتحركة من الرتبة p و q على التوالي بـ :

$$X_t - A_1 X_{t-1} - \dots - A_p X_{t-p} = Z_t + B_1 Z_{t-1} + \dots + B_q Z_{t-q}$$

حيث A_1, \dots, A_p و B_1, \dots, B_q هي مصفوفات حقيقية ذات رتبة $m \times m$ و Z_t متغير عشوائي يتبع التوزيع الطبيعي المتعدد بتوقع 0 و مصفوفة تباين V ، و m هي عدد السلاسل الزمنية المشتملة في النموذج.

سنركز التقدير باستخدام نماذج الانحدار الذاتي المتعدد، والتي تعتمد على القيم السابقة من نفس المتغيرات المشتملة في النموذج، في التنبؤ بالقيم المستقبلية لهذه المتغيرات. وقد أثبتت نماذج الانحدار الذاتي المتعدد مقدرة كبيرة في التنبؤ بمنظومة السلاسل الزمنية ذات العلاقات الارتباطية (system of interrelated time series). حيث أن سلسلة أسعار صرف الدينار مقابل كل من الدولار الأمريكي والجنيه الإسترليني والمارك الألماني بينها علاقة ارتباط تعتمد على علاقة أسعار صرف هذه العملات العالمية الرئيسية فيما بينها، [انظر شكل (1.4)]، لذا فإن تقدير نماذج أسعار صرف العملات الرئيسية تلك معاً - وبالأخذ في الاعتبار علاقة الارتباط بينها - قد يحسن من مقدرتها التنبئية.

سوف نعتمد في اختيار رتبة النموذج المقدر على معامل المعلومات لـ "أكايكى". ومن ثم على الاختبارات الإحصائية لمعنى النماذج المقدرة، وعلى اختبارات معنوية معاملات هذه النماذج، واختيار الأفضل منها بناء على مقدرتها على التنبؤ.

وحيث أن كل من سلسلة أسعار صرف الدولار الأمريكي مقابل الدينار الكويتي (DOLKD) والجنيه الإسترليني مقابل الدينار الكويتي (BPKD) والمارك الألماني مقابل الدينار الكويتي (DMKD) كانت سلسلة غير ساكنة، فسوف نستخدم سلسلة الفرق الأولى لكل منها، أي : DDMKD و DBPKD و DDOLKD.

فيما يلي تقدير لنماذج الانحدار الذاتي المتعدد من الرتبة الخامسة، وهو أفضل نموذج من حيث معامل "أكايكى" (الأقل مقارنة مع النماذج من رتب أخرى، انظر الشكل 2.4). غير أن معاملات هذا النموذج ليست كلها معنوية:

$$\begin{aligned} DDOLKD_t = & 0.561^{**} DDOLKD_{t,1} - 0.1472^{**} DDOLKD_{t,2} - 0.1121^{**} DDOLKD_{t,3} + 0.0591^{**} DDOLKD_{t,4} \\ & + 0.1844^{**} DDOLKD_{t,5} + 0.0211^{**} DBPKD_{t,1} - 0.0336^{**} DBPKD_{t,2} - 0.0203^{**} DBPKD_{t,3} \\ & + 0.0319^{**} DBPKD_{t,4} - 0.01243^{**} DBPKD_{t,5} + 0.1209^{**} DDMKD_{t,1} + 0.02248^{**} DDMKD_{t,2} \\ & + 0.0185^{**} DDMKD_{t,3} + 0.02998^{**} DDMKD_{t,4} + 0.01921^{**} DDMKD_{t,5} \end{aligned}$$

$$\begin{aligned} DBPKD_t = & -0.7183^{**} DDOLKD_{t,1} + 0.6624^{**} DDOLKD_{t,2} + 1.2081^{**} DDOLKD_{t,3} - 0.3225^{**} DDOLKD_{t,4} \\ & - 1.2420^{**} DDOLKD_{t,5} + 0.1847^{**} DBPKD_{t,1} + 0.2155^{**} DBPKD_{t,2} - 0.0840^{**} DBPKD_{t,3} \\ & + 0.0131^{**} DBPKD_{t,4} + 0.2382^{**} DBPKD_{t,5} + 0.1826^{**} DDMKD_{t,1} - 0.3823^{**} DDMKD_{t,2} \\ & + 0.3826^{**} DDMKD_{t,3} - 0.4647^{**} DDMKD_{t,4} - 0.5795^{**} DDMKD_{t,5} \end{aligned}$$

$$\begin{aligned} DDMKD_t = & -0.2657^{**} DDOLKD_{t,1} + 0.5625^{**} DDOLKD_{t,2} + 0.3503^{**} DDOLKD_{t,3} - 0.2359^{**} DDOLKD_{t,4} \\ & - 0.3968^{**} DDOLKD_{t,5} - 0.0106^{**} DBPKD_{t,1} + 0.0308^{**} DBPKD_{t,2} + 0.0507^{**} DBPKD_{t,3} \\ & - 0.0806^{**} DBPKD_{t,4} + 0.0902^{**} DBPKD_{t,5} + 0.1939^{**} DDMKD_{t,1} + 0.0823^{**} DDMKD_{t,2} \\ & + 0.01557^{**} DDMKD_{t,3} - 0.0028^{**} DDMKD_{t,4} - 0.1560^{**} DDMKD_{t,5} \end{aligned}$$

شكل (3.4) يعرض النموذج المقدر بعد الاستبعاد التدرججي للمعاملات غير المعنوية. والنماذج المقدرة في شكل (3.4) معنوي، كما أن جميع المعاملات للنماذج الثلاثة فيه معنوية عند مستوى 5%.

شكل (1.4) معاملات الارتباط الخطى بين أسعار صرف العملات

	DOLKD	BPKD	DMKD	BPDOL	DOLDM
DOLKD	1.000000	-0.745194	0.232666	-0.828459	0.063837
BPKD	-0.745194	1.000000	0.189510	0.990722	-0.414274
DMKD	0.232666	0.189510	1.000000	0.112292	-0.953671
BPDOL	-0.828459	0.990722	0.112292	1.000000	-0.361417
DOLDM	0.063837	-0.414274	-0.953671	-0.361417	1.000000

حيث :

- : سعر صرف الدولار مقابل الدينار الكويتي DOLKD
- : سعر صرف الجنيه الإسترليني مقابل الدينار BPKD
- : سعر صرف المارك الألماني مقابل الدينار DMKD
- : سعر صرف الدولار الأمريكي مقابل الجنيه الإسترليني BPDOL
- : سعر صرف المارك الألماني مقابل الدولار الأمريكي DOLDM

شكل (2.4) معامل "أكايكي" لنماذج الانحدار الذاتي المتعدد من الرتبة 2 وحتى الرتبة 12

معامل "أكايكي" لنماذج الانحدار المتعدد لكل من			رتبة نموذج
انحدار الذاتي المتعدد	DMKD	BPKD	DOLKD
2	1.433948	3.565111	-0.236175
3	1.455785	3.586582	-0.220860
4	1.464435	3.584954	-0.225818
5	1.416047	3.552059	-0.270328
6	1.445210	3.563147	-0.243108
7	1.474441	3.578890	-0.218763
8	1.479140	3.605421	-0.198418
9	1.499601	3.634638	-0.175492
10	1.519163	3.627980	-0.152186
11	1.546102	3.643122	-0.150629
12	1.558753	3.650571	-0.143788

بمقارنة النموذجين المقدرين السابعين مع النماذج المنفردة المقيدة في الجزء الثالث، نلاحظ أن كلا من النموذج المقدر للتباين بأسعار صرف الدولار الأمريكي مقابل الدينار الكويتي (DOLKD)، والنماذج المقدرة للتباين بأسعار صرف الجنيه الإسترليني مقابل الدينار الكويتي (BPKD) كانت أسوأ منها في التغيرات في الجزء الثالث، وخلاف ذلك للنموذج المقدر للتباين بأسعار صرف المارك الألماني مقابل الدينار الكويتي (DMKD)، فقد كان الخطأ

المعياري للنموذج ومعامل "أكايكي" أقل منها في النموذج المقدر في الجزء العاينق، لذا فإن أفضل نماذج الانحدار الذاتي المتعدد في التبؤ بأسعار الصرف لم تؤدي إلى تحسين جميع النماذج المقدرة أو إلى زيادة القراءة التنبؤية لها.

سوف نحاول الآن بناء نماذج انحدار ذاتي لأسعار صرف العملات السابقة مستخدمين أفضل النماذج الفردية التي تم تقديرها لكل عملة على حدا في الجزء السابق، وذلك باستخدام نفس الرتب السابقة من نفس العملة في النماذج المنفردة في ذلك الجزء، وكذلك الرتب السابقة من العملات الأخرى المشتملة في أفضل نموذج منفرد لكل عملية. الشكل (4.4) يعرض النموذج الكلي المقدر باستخدام أفضل النماذج الفردية. حيث يظهر أن العديد من المعاملات كانت غير معنوية عند مستوى 5%. الشكل (5.4) يعرض النموذج النهائي في شكل (5.4) وذلك بعد الاستبعاد التدريجي للمعاملات غير المعنوية، واختبار إضافة فترات سابقة قد يكون أثراً لها معنويًا في زيادة فعالية النماذج . لذا فإن النماذج النهائية المقدرة كانت :

$$DDOLKD_t = 0.4752 * DDOLKD_{t-1} + 0.1960 * DDOLKD_{t-5} + 0.1381 * DDMKD_{t-1} \quad \dots (4.1)$$

$$DBPKD_t = 0.2850 * DBPKD_{t-1} + 0.1687 * DBPKD_{t-5} - 0.2086 * DBPKD_{t-11} \quad \dots (4.2)$$

$$DDMKD_t = 0.0668 * DBPKD_{t-5} + 0.2359 * DDMKD_{t-1} \quad \dots (4.3)$$

ويتضح من الشكل (5.4) أن جميع المعاملات المقدرة كانت معنوية عند مستوى 5%. كما أن جميع النماذج المقدرة كانت أفضل من النماذج الفردية المقدرة في الجزء السابق، كما يتضح أن بعض أسعار الصرف المقدرة في النماذج تعتمد بصورة أو بأخرى على بعض القيم السابقة من سعر صرف العملات الأخرى. فالنموذج (1.4) اعتمد أساساً على القيم السابقة لسعر صرف الدولار الأمريكي مقابل الدينار الكويتي إضافة إلى قيمة سابقة من سعر صرف المارك الألماني مقابل الدينار الكويتي. أما النموذج (2.4) فاعتمد في الأساس على القيم السابقة من نفس أسعار الصرف للجنيه الإسترليني مقابل الدينار الكويتي. أما النموذج (3.4) فاعتمد على القيم السابقة من أسعار الصرف للجنيه الإسترليني والمارك الألماني مقابل الدينار .

شكل (6.4) يعرض تصوير الارتباط للباقي من النموذج المقدر في (1.4) حيث تظهر كل من دالة الارتباط الذاتي ودالة الارتباط الجزئي الذاتي عدم وجود آية عناصر شارحة يمكن إضافتها إلى النموذج المقدر. وفي شكل (7.4) تم اختبار النموذج باستخدام اختبارات "تساو" للتجزئة والتباين، حيث تشير نتائج الاختبارين إلى ثبات النموذج المقدر ومقدراته على التبؤ.

شكل (3.4) نموذج الانحدار الذاتي المتعدد من الرتبة الخامسة بعد استبعاد المعاملات غير المغربية

Coefficient	Std. Error	T-statistic	Prob.
C(1)	0.553200	0.098844	5.596686
C(2)	-0.184235	0.082999	-2.219720
C(3)	0.251107	0.065773	3.817772
C(4)	-0.027493	0.012382	-2.220402
C(5)	0.022668	0.009851	2.301000
C(6)	0.158297	0.043055	3.676591
C(7)	0.300833	0.066176	4.545975
C(8)	0.149759	0.065876	2.273355
C(9)	0.322506	0.151766	2.125019
C(10)	0.068909	0.022392	3.077359
C(11)	0.259762	0.068387	3.798436
Determinant residual covariance		22.25907	
Equation: DDOLKD _t =C(1)*DDOLKD _{t-1} +C(2)*DDOLKD _{t-2} +C(3)*DDOLKD _{t-3} +C(4)*DBPKD _{t-2} +C(5)*DBPKD _{t-4} +C(6)*DDMKD _{t-1}			
R-squared	0.972966	Mean dependent var	296.0218
Adjusted R-squared	0.972276	S.D. dependent var	5.040620
S.E. of regression	0.839287	Sum squared resid	138.0629
Durbin-Watson stat	1.975866		
Equation: DBPKD _t =C(7)*DBPKD _{t-1} +C(8)*DBPKD _{t-3}			
R-squared	0.971809	Mean dependent var	478.5776
Adjusted R-squared	0.971668	S.D. dependent var	34.36198
S.E. of regression	5.783876	Sum squared resid	6690.644
Durbin-Watson stat	1.982294		
Equation: DDMKD _t =C(9)*DDOLKD _{t-2} +C(10)*DBPKD _{t-5} +C(11)*DDMKD _{t-1}			
R-squared	0.961926	Mean dependent var	182.7582
Adjusted R-squared	0.961543	S.D. dependent var	10.04083
S.E. of regression	1.969048	Sum squared resid	771.5527
Durbin-Watson stat	1.970157		

**شكل (4.4) نموذج الانحدار الذاتي المتعدد المقدر من الأفضل لنموذج التغريبة الأحادية
المقدر في الجزء الثالث**

Coefficient	Std. Error	T-Statistic	Prob.
C(1)	0.533833	0.098210	5.435631 0.0000
C(2)	0.014942	0.012953	1.153540 0.2492
C(3)	-0.030286	0.009796	-3.091801 0.0021
C(4)	0.026862	0.010102	2.658954 0.0081
C(5)	0.016376	0.012832	1.276181 0.2024
C(6)	0.118947	0.045874	2.592930 0.0098
C(7)	-0.036407	0.038599	-0.943222 0.3460
C(8)	-0.773634	0.654419	-1.182169 0.2377
C(9)	0.166080	0.086315	1.924109 0.0549
C(10)	0.206867	0.065277	3.169065 0.0016
C(11)	-0.255596	0.067317	-3.796886 0.0002
C(12)	-0.262909	0.085508	-3.074688 0.0022
C(13)	0.278306	0.305678	0.910457 0.3630
C(14)	0.630048	0.257203	2.449617 0.0146
C(15)	-0.089920	0.234821	-0.382929 0.7019
C(16)	-0.002038	0.030972	-0.065803 0.9476
C(17)	0.081234	0.023423	3.468141 0.0006
C(18)	-0.048974	0.024155	-2.027488 0.0431
C(19)	-0.027832	0.030682	-0.907117 0.3648
C(20)	0.230375	0.109684	2.100346 0.0362
C(21)	0.037450	0.092290	0.405781 0.6851

Equation: D(DOLKD)=C(1)*DDOLKD _{t-1} +C(2)*DBPKD _{t-1} +C(3)*DBPKD _{t-5} +C(4)*DBPKD _{t-11} +C(5)*DBPKD _{t-22} +C(6)*DDMKD _{t-1} +C(7)*DDMKD _{t-22}
R-squared 0.974896 Mean dependent var 296.3844
Adjusted R-squared 0.974050 S.D. dependent var 5.096455
S.E. of regression 0.820983 Sum squared resid 119.9744
Durbin-Watson stat 1.900432
Equation: D(BPKD)= C(8)*DDOLKD _{t-1} +C(9)*DBPKD _{t-1} +C(10)*DBPKD _{t-5} +C(11)*DBPKD _{t-11} +C(12)*DBPKD _{t-22} +C(13)*DDMKD _{t-1} +C(14)*DDMKD _{t-22}
R-squared 0.977255 Mean dependent var 477.6624
Adjusted R-squared 0.976489 S.D. dependent var 35.67752
S.E. of regression 5.470595 Sum squared resid 5327.079
Durbin-Watson stat 1.960320
Equation: D(DMKD)=C(15)*DDOLKD _{t-1} +C(16)*DBPKD _{t-1} +C(17)*DBPKD _{t-5} +C(18)*DBPKD _{t-11} +C(19)*DBPKD _{t-22} +C(20)*DDMKD _{t-1} +C(21)*DDMKD _{t-22}
R-squared 0.953715 Mean dependent var 184.3171
Adjusted R-squared 0.952155 S.D. dependent var 8.974247
S.E. of regression 1.962981 Sum squared resid 685.8864
Durbin-Watson stat 1.919157

شكل (5.4) التوزيع النهائى الانحدار الذاتى المتعدد المفترض من قابل التماذج الفرجي

Coefficient	Std. Error	T-Statistic	Prob.
C(1)	0.524643	0.123579	4.245391 0.0000
C(2)	0.089872	0.035911	2.502636 0.0139
C(3)	0.284971	0.066197	4.304871 0.0000
C(4)	0.168743	0.066108	2.552547 0.0109
C(5)	-0.208645	0.065835	-3.169190 0.0016
C(6)	0.066825	0.022732	2.939662 0.0034
C(7)	0.235949	0.068552	3.441879 0.0006

Equation: D(DOLKD)=C(1)*DDOLKD _{t-1} +C(2)*DDMKD _{t-1}			
R-squared	0.951495	Mean dependent var	299.0584
Adjusted R-squared	0.951037	S.D. dependent var	2.230981
S.E. of regression	0.493663	Sum squared resid	25.83249
Durbin-Watson stat	1.857470		

Equation: D(BPKD)= C(3)*DBPKD _{t-1} +C(4)*DBPKD _{t-5} +C(5)*DBPKD _{t-11}			
R-squared	0.973486	Mean dependent var	478.0053
Adjusted R-squared	0.973212	S.D. dependent var	34.71899
S.E. of regression	5.682513	Sum squared resid	6232.154
Durbin-Watson stat	2.035077		

Equation: D(DMKD)=C(6)*DBPKD _{t-5} +C(7)*DDMKD _{t-1}			
R-squared	0.961075	Mean dependent var	182.7582
Adjusted R-squared	0.960880	S.D. dependent var	10.04083
S.E. of regression	1.985952	Sum squared resid	788.8000
Durbin-Watson stat	1.922007		

شكل (6.4) تصوير الارتباط (Correlogram) للنموذج المفترض من قابل التماذج الفرجي (residuals) DOLKD

Autocorrelation	Partial Correlation	AC	PAC	Q-Stat	Prob.
.	.	1	-0.003	-0.003	0.0009 0.976
.	.	2	0.004	0.004	0.0024 0.999
*	*	3	-0.059	-0.059	0.3929 0.942
.	.	4	0.008	0.007	0.3995 0.983
.	*	5	0.172	0.173	3.8111 0.577
*	*	6	-0.072	-0.077	4.4166 0.620
.	.	7	-0.014	-0.016	4.4397 0.728
*	.	8	-0.076	-0.055	5.1169 0.745
.	*	9	0.070	0.062	5.7076 0.769
.	.	10	-0.022	-0.054	5.7638 0.835
*	.	11	-0.064	-0.049	6.2660 0.855
*	*	12	-0.108	-0.104	7.7185 0.807
*	*	13	-0.125	-0.112	9.6579 0.722
*	*	14	-0.058	-0.101	10.080 0.756
.	.	15	-0.040	-0.036	10.283 0.802
.	.	16	0.024	0.023	10.359 0.847
*	*	17	-0.087	-0.066	11.336 0.839
*	*	18	-0.058	-0.056	11.786 0.858
*	*	19	0.086	0.099	12.768 0.850
.	*	20	0.002	-0.013	12.769 0.887
.	*	21	0.065	0.042	13.339 0.896
.	*	22	-0.038	-0.005	13.537 0.917
.	*	23	-0.009	-0.015	13.549 0.939
.	*	24	0.046	-0.011	13.855 0.950
.	*	25	-0.041	-0.086	14.099 0.960
.	*	26	0.034	-0.016	14.262 0.969

شكل (7.4) اختبارات تشاو للنموذج المقدر لـ *DOLKD*

Chow Breakpoint Test: 180		اختبار التجزئة	
F-statistic	0.906890	Probability	0.406947
Log likelihood	1.867304	Probability	0.393115
Chow Forecast Test:		اختبار التنبؤ	
Forecast from 180 to 208			
F-statistic	1.504709	Probability	0.080213
Log likelihood	48.48953	Probability	0.053069
Variable	Coefficient	Std. Error	T-Statistic
DDOLKD _{t-1}	0.535120	0.124749	4.289563
DDMKD _{t-1}	0.104313	0.035325	2.952993
R-squared	0.964727	Mean dependent var	299.3579
Adjusted R-squared	0.964269	S.D. dependent var	2.448059
S.E. of regression	0.462747	Sum squared resid	16.48838
Durbin-Watson stat	1.924814		

شكل (8.4) تصوير الارتباط (residuals) للنموذج المقدر لـ *BPKD* (Correlogram)

Autocorrelation	Partial Correlation	AC	PAC	Q-Stat	Prob.
.	.	1	-0.025	-0.025	0.1224 0.726
.	.	2	0.065	0.064	0.9603 0.619
*	*	3	-0.093	-0.090	2.6851 0.443
.	.	4	-0.004	-0.012	2.6878 0.611
.	.	5	0.017	0.029	2.7482 0.739
.	.	6	0.023	0.017	2.8568 0.827
.	.	7	0.006	0.003	2.8650 0.897
.	.	8	-0.030	-0.029	3.0541 0.931
.	.	9	-0.036	-0.034	3.3248 0.950
*	*	10	-0.109	-0.108	5.8161 0.830
.	.	11	-0.029	-0.036	5.9914 0.874
*	*	12	-0.091	-0.089	7.7427 0.805
.	.	13	0.073	0.055	8.8642 0.783
.	.	14	-0.004	0.005	8.8673 0.839
.	*	15	0.141	0.128	13.101 0.594
.	.	16	-0.026	-0.005	13.251 0.654
.	.	17	0.055	0.048	13.916 0.673
*	*	18	-0.077	-0.061	15.202 0.648
.	*	19	0.113	0.097	17.999 0.523
*	*	20	0.117	0.115	21.017 0.396
.	.	21	0.011	-0.018	21.046 0.456
*	*	22	-0.073	-0.095	22.236 0.446
.	.	23	-0.043	-0.012	22.649 0.481
.	.	24	-0.045	-0.038	23.105 0.514
.	.	25	-0.054	-0.041	23.765 0.533
*	*	26	-0.095	-0.113	25.844 0.472

نتائج الشكل (8.4) والشكل (9.4) تشير إلى كفاية النموذج المقدر في (2.4)، وإلى عدم وجود آية عناصر معنوية شارحة يمكن إضافتها إلى النموذج المقدر، كما أن النموذج المقدر يتمتع بثبات ومقدرة عالية على التنبؤ.

ذلك تشير النتائج في الشكلين (10.4) و(11.4) إلى ثبات النموذج المقدر في (3.4)، وعدم وجود عناصر معنوية يمكن أن تضيف أي شيء يذكر إلى القدرة التنبؤية لهذا النموذج، كما أن النموذج كان مستقرًا ومعنويًا تحت اختبارات "تشاو" للتجزئة والتنبؤ.

شكل (9.4) لختبرات تسلسلي للنموذج المقدر لـ $BPKD$

Chow Breakpoint Test: 180		لختبر التجزئة		
F-statistic	0.387091	Probability	0.762426	
Log likelihood	1.194298	Probability	0.754372	
Chow Forecast Test:		لختبر التنبؤ		
Forecast from 180 to 208		لختبر التنبؤ		
F-statistic	0.394351	Probability	0.997819	
Log likelihood	13.21214	Probability	0.994695	
Variable	Coefficient	Std. Error	T-Statistic	Prob.
DBPKD _{t-1}	0.281032	0.071367	3.937831	0.0001
DBPKD _{t-8}	0.167781	0.071095	2.359935	0.0195
DBPKD _{t-11}	-0.223519	0.070600	-3.166003	0.0018
R-squared	0.974826	Mean dependent var	479.4696	
Adjusted R-squared	0.974519	S.D. dependent var	37.33781	
S.E. of regression	5.960182	Sum squared resid	5825.898	
Durbin-Watson stat	2.057656			

شكل (10.4) تصوير الارتباط (Correlogram) للنموذج المقدر لـ $DMKD$ (residuals)

Autocorrelation	Partial Correlation	AC	PAC	Q-Stat	Prob.
.1.	.	1	0.014	0.014	0.0392 0.843
*1.	*	2	-0.076	-0.076	1.2341 0.840
.1.	.	3	-0.028	-0.026	1.3913 0.708
.1.	.	4	-0.023	-0.028	1.5014 0.826
.1.	.	5	0.008	0.005	1.5147 0.911
.1.	.	6	-0.026	-0.031	1.6593 0.948
.1.	.	7	0.026	0.027	1.8028 0.970
.1.*	*	8	0.104	0.099	4.1030 0.848
.1.	.	9	-0.004	-0.004	4.1066 0.904
*1.	*	10	-0.084	-0.070	5.6356 0.845
*1.	*	11	-0.109	-0.103	8.2051 0.695
*1.	*	12	-0.109	-0.119	10.795 0.547
.1.	.	13	-0.017	-0.039	10.857 0.623
.1.	*	14	-0.043	-0.068	11.270 0.665
.1.*	*	15	0.095	0.080	13.243 0.584
.1.	.	16	0.062	0.041	14.107 0.591
.1.	.	17	0.025	0.042	14.240 0.650
*1.	*	18	-0.088	-0.066	15.970 0.595
*1.	*	19	-0.105	-0.078	18.430 0.494
.1.*	*	20	0.137	0.144	22.707 0.303
.1.	.	21	-0.010	-0.036	22.730 0.359
.1.	.	22	0.020	0.017	22.823 0.412
.1.	.	23	0.005	-0.044	22.828 0.471
*1.	*	24	-0.067	-0.108	23.879 0.469
.1.	.	25	0.001	-0.017	23.879 0.526
.1.	.	26	-0.043	-0.024	24.308 0.558

شكل (11.4) لختبرات تسلسلي للنموذج المقدر لـ $DMKD$

Chow Breakpoint Test: 180		لختبر التجزئة		
F-statistic	0.579410	Probability	0.561176	
Log likelihood	1.178784	Probability	0.584684	
Chow Forecast Test:		لختبر التنبؤ		
Forecast from 180 to 208		لختبر التنبؤ		
F-statistic	0.793726	Probability	0.764594	
Log likelihood	25.51012	Probability	0.681529	
Variable	Coefficient	Std. Error	T-Statistic	Prob.
DBMKD _{t-8}	0.064807	0.023648	2.740426	0.0068
DBMKD _{t-1}	0.212933	0.073279	2.905781	0.0041
R-squared	0.954561	Mean dependent var	180.8230	
Adjusted R-squared	0.954296	S.D. dependent var	9.431553	
S.E. of regression	2.016334	Sum squared resid	698.2184	
Durbin-Watson stat	1.947664			

5. استخدام النماذج المقدرة في التنبؤ:

تستخدم نماذج الانحدار الذاتي والمتوسطات المتحركة في التقديرات والتنبؤات لفترات قصيرة نسبياً، ويمكن استخدامها في التنبؤ بقيمة مستقبلية واحدة أو في عدة قيم مستقبلية بدءاً من القيمة التالية لأخر قيمة في السلسلة. كما أن التنبؤ من الممكن أن يكون ديناميكيا (Dynamic forecasting)، أي التنبؤ بعدة قيم مستقبلية بدءاً من القيمة التالية لأخر قيمة في السلسلة مستخدمين المعلومات المتوفرة من القيمة الأخيرة تلك والقيم السابقة لها. أو أن يكون التنبؤ ساكنا (static forecasting) وفي هذه الحالة فإن تقدير القيم المستقبلية سوف يعتمد على المعلومات المتوفرة من آخر مشاهدة في السلسلة والقيم السابقة لها إضافة إلى القيم الفعلية التالية للقيم الأخيرة للسلسل ال الزمنية حال توفرها أو معرفتها. وفي الغالب، فإن التنبؤ الديناميكي لا يستجيب إلى التغيرات قصيرة الأجل في السلسلة الزمنية خاصة في التنبؤات غير القصيرة، لذا فإن غالبية السلسل المتباينا بها بهذه الطريقة لا تستجيب أو تحاكي التغيرات الفعلية في هذه السلسل. وعلى العكس من ذلك، فإن التنبؤ الساكن يدخل اثر القيم المستقبلية حال معرفتها وبذلك يستجيب أكثر للتغيرات التي تطرأ على السلسلة، خاصة إذا كانت النماذج المستخدمة في التنبؤ تعتمد بصورة أكبر على القيم السابقة الأقرب من القيمة المتباينا بها.

سوف نستخدم النماذج المقدرة في (1.4) و (2.4) و (3.4) في التنبؤ باسعار صرف الدينار الكويتي مقابل العملات الرئيسية الثلاث، حيث أن هذه النماذج كانت الأفضل بالمقارنة مع النماذج الفردية المقدرة في (4.3) و (5.3) و (8.3). شكل (1.5) يعرض القيم الفعلية لثمانية قيم من سلسل أسعار صرف الدينار الكويتي مقابل العملات الرئيسية الثلاث، بدءاً من الأسبوع التاسع بعد المائتين وحتى الأسبوع السادس عشر بعد المائتين (الأسبوع الثاني من شهر مارس 1995 وحتى الأسبوع الأول من شهر مايو من نفس السنة)، وهي القيم التي حصلنا عليها بعد بناء النماذج. ويعرض الشكل كذلك القيم المتباينا بها ديناميكيا لنفس الفترة لكل من سعر صرف الدينار الكويتي مقابل الدولار الأمريكي (DOLKDF_D) والجنيه الإسترليني مقابل الدينار الكويتي (BPKDF_D) والمارك الألماني مقابل الدينار الكويتي (DMKDF_D). كما يعرض الشكل (1.5) القيم المتباينا بها باستخدام طريقة التنبؤ الساكن باستخدام القيم الفعلية المتوفرة من سلسل أسعار الصرف للعملات الثلاث بعد الأسبوع الثامن بعد المائتين إضافة إلى القيم السابقة لذلك. حيث يعرض القيم المتباينا بها لسعر صرف الدولار الأمريكي مقابل الدينار الكويتي (DOLKDF_S)، وسعر صرف الجنيه الإسترليني مقابل الدينار الكويتي (BPKDF_S) وسعر صرف المارك الألماني مقابل الدينار الكويتي (DMKDF_S).

شكل (1.5) القيم الفعلية والمتباينا بها للعملات الرئيسية الثلاث باستخدام طريقة التنبؤ الديناميكي والساكن للفترة من الأسبوع 209 وحتى الأسبوع 216

DOLKDF_D	DOLKDF_S	DOLKD	المشاهدة
295.5480	295.5480	295.5000	209
295.6593	295.5863	295.3240	210
295.7018	295.2169	295.1040	211
295.8335	295.0989	292.5240	212
295.9085	291.1864	292.3140	213
295.7216	291.9786	290.6420	214
295.8173	289.9640	291.4920	215
295.9538	292.0214	293.0100	216
BPKDF_D	BPKDF_S	BPKD	المشاهدة
478.1166	478.1166	475.1531	209
477.3360	473.5280	475.3328	210
477.7269	475.9973	481.1942	211
477.8476	482.8739	483.0514	212
477.5208	483.2194	478.8227	213
477.3638	477.0537	482.5023	214
478.7158	485.1097	482.9017	215
479.6661	484.5036	482.9641	216

المناولة	DMKD	DMKDF_S	DMKDF_D
209	210.6651	208.1444	208.1444
210	210.4872	211.2937	208.1782
211	211.7515	210.6685	208.4095
212	211.8255	212.1769	208.5912
213	209.2166	212.2200	209.0111
214	211.4452	208.4986	209.0077
215	212.4452	211.9830	209.0189
216	212.4197	213.0728	209.4133

٦. الاستنتاج والخلاصة :

للمزيد هذه الدراسة بتغير نمذاج احلاية ملفردة ومتعددة من سلسل لسعار صرف الدينار الكويتي مقابل ثلاثة عملات رئيسية تأثر في الاقتصاد الكويتي بصورة كبيرة هي: الدولار الأمريكي ولجهينة الإسترليني والعملة الألمانية. وقد تم لستخدام الملاج الأحلاية لقدرها العالمية على التأثير بالقيم المستقبلية لهذه العملة من جهة، ومن جهة أخرى عدم اعتمادها على معرفة لها لهم لمتغيرات شارحة أخرى.

وقد اعتمدت الدراسة على السلسلة الزمنية الأسبوعية من لسعر صرف العملات الثلاثة مقابل الدينار الكويتي، والتي تم حصلها من تبييلات اليومية المنشورة من قبل تلك الكويت المركزية خلال الفترة من 26 مارس 1991 (الأسبوع الثالث عشر من عام 1991) وحتى 10 من مايو 1995 (الأسبوع العاشر من عام 1995).

تم تقديم نموذج لحدى ملفرد لكل عملية مقابل الدينار الكويتي ، وذلك بعد تحويل العمليات الأصلية إلى سلسلة لفرق الأول والتي كانت سلسلة ماقلة. ثم تم استخدام دوال الارتباط الذاتي والارتباط للذاتي للجزئي في تحديد نوعية ورقة الملاج الملكة. وتم اختيار الملاج للمملكة للتحديد لصحتها في تمثيل تبييلات، وأوضحت الملاج تلك لاختارات التجزئة والاختارات القبر لـ تسلو. وتم اختيار الملاج التي تمنت باستقرار وثبت في الاختارات. تم تم لستخدام هذه الملاج في التأثير بهم للسلسلة الأصلية لكل عملية.

كما تم بناء نموذج لحدار ذاتي متعدد من سلسلة لفرق الأول للعملات الثلاث. حيث تم تقديم نموذج لحدار متعدد من الرتبة الخامس كلفضل نموذج (التي فيما من حيث معامل "اكليكي"). تم تم الاستبعاد للتغريمي للمعاملات غير المطوبة. وتم مقارنة هذا للمودع مع الملاج المفرد. بعد ذلك تم بناء نموذج لحدار متعدد آخر مبني على أساس لفضل الملاج المفرد والذى تم تقديمها. وتم لاستخدام المعاملات غير المطوبة لهم بصورة قدرية. تم تم اختيار مطوية بضائلا أي من المتغيرات غير المضمونة في النموذج لكى نموذج كل عملية على هذا، ولذلك الأمر ببناء منظومة نموذج لحدار متعدد وتغييرها باستخدام طريقة المراعات لصفرى غير المطوبة. وقد تم اختيار هذه الملاج ب باستخدام اختارات التجزئة والاختارات القبر لـ تسلو. ولذاك من ثباتها وقدرتها على التأثير.

وبشكلية نموذج لحدار ذاتي متعدد مع الملاج المفرد لوحظ أن الملاج المقترن باستخدام الانحدار ذاتي المتعدد كانت لفضل في التأثير عن السلسلة الزمنية المقدرة، ولفضل في قدراتها التقنية للقيم المستقبلية لهذه السلسلة الزمنية. لا كذلك اختيارا هذه الملاج للتغيير بهم للسلسلة الثلاثة للسابع من 209 إلى 216 وذلك باستخدام طريقة التأثير الديناميكي والسكن.

الملاج المقترن باستخدام الانحدار ذاتي المتعدد كانت جيدة وتمت باستقرار سلس ضد تعرضاها لاختارات التجزئة والتغيير وذلك باستخدام التغيير لـ 29 الأخيرة من كل سلسلة، كما أن قدراتها التقنية كانت جيدة كذلك خلال نفس الفترة. من ذلك فإلى لوصى باستخدام طريقة التأثير السلك وذلك يدخل لقيم المستقبلية المطوبة التي يتم معرفتها من هذه السلسلة في التأثير بالقيم الذاتية لها، كما لفضل إعلاه اختيار مصداقية الملاج المقترن بعد كل ثلاثة شهور من استخدامها، وذلك لقياس مدى اطمئنانها على القيم المضافة من السلسلة الزمنية خلال هذه الفترة، وبالتالي تحديد بمكانية الاستمرار في استخدام نفس الملاج لو يدخل لها تعديلات عليها.

المصادر
References

- * Almahmeed, M. , "SARIMA Modeling of Consumer Price Index of Kuwait", The Egyptian Statistical Journal, Vol. 34, No. 2, (1990).
- * Almahmeed, M. and Kadhim, M., "Analysis and Forecasting of the KD Exchange Rate", The Middle East Business and Economic Review, Vol. 3, No. 1, 1-14, (1990).
- * Box , G., and Jenkins, G. M., " Time Series Analysis: Forecasting and Control" , San Francisco: Holden-Day, (1976).
- * Chatfield, C., and Prothero, D. L., " Box-Jenkins seasonal forecasting: Problem in a case-study." ,Journal of the Royal Statistical Society A, 136, 3, 295-352, (1973).
- * Dunstan, F. D. J., "Time Series Analysis in the Detection of Breast Cancer", Time Series Analysis : Theory and Practice 1, ed. (O. D. Anderson, Amsterdam: North-Holland, 1982).
- * Geurts, M. D. and Ibrahim, I. B., "Comparing the Box-Jenkins Approach with the Exponentially Smoothed Forecasting Model Application to Hawaii Tourists", Journal of the Marketing Research, Vol. 12, No. 2, 182-188, (1975).
- * Harvey, A. C. and Todd, J. K., "Forecasting Economic Time Series with Structural and Box-Jenkins Models: A Case Study", Business Econ. Statistics, Vol. 1, 299-307, (1983).
- * Kuwait Investment Company (KIC), The Kuwaiti Dinar : Chronological Event, (Kuwait KIC, n.d.).
- * Leskinen, E. and Terasvirta, T. , "Forecasting the Consumption of Alcoholic Beverages in Finland : A Box-Jenkins Approach", European Economic Review, Vol. 8, No. 5, 349-369, (1976).
- * Thompson, H. E. and Tio, G. C., "Analysis of Telephone Data : A Case Study of Forecasting Seasonal Time Series", The Bell Journal of Economics, Vol. 2, No. 2, 515-541, (1971).